

پیوند اتولوگ تخدمان سالم و دست نخورده موش در ماهیچه سرینی سطحی

حسین ایمانی^۱ Ph.D., سیده فاطمه سیادت^۲ M.Sc., کاظم پریور^۳, پوپک افتخاری یزدی^۴, مجتبی رضازاده ولوجردی^۵ Ph.D., عبدالحسین شاهوری^۶ Ph.D.

۱. پژوهشکده رویان، مرکز تحقیقات پژوهشی تولید مثل، گروه جنین‌شناسی، تهران، ایران
۲. دانشگاه علوم پزشکی بقیه ...، گروه علوم تشریح، تهران، ایران
۳. دانشگاه آزاد اسلامی گرمسار، دانشکده علوم پایه، گروه بیولوژی، گرمسار، ایران
۴. دانشگاه آزاد اسلامی، دانشکده علوم پایه، گروه بیولوژی جانوری، تهران، ایران
۵. دانشگاه تربیت مدرس، دانشکده پژوهشی، گروه علوم تشریح، تهران، ایران

* آدرس نویسنده مسئول: ایران، تهران، صندوق پستی: ۱۹۳۹۵-۴۶۴۴، پژوهشکده رویان، مرکز تحقیقات پژوهشی تولیدمثل، گروه جنین‌شناسی
پست الکترونیک: Email: eimanih@royaninstitute.org

دریافت مقاله: ۸۷/۸/۲۹، پذیرش مقاله: ۸۷/۸/۲۹

چکیده

- * هدف: بررسی میزان زنده‌ماندن فولیکول‌ها در پیوندهای آلوگرافت تخدمان‌های سالم (Intact) و دست نخورده درون ماهیچه با توجه به زمان پیوند
- * مواد و روش‌ها: تخدمان‌های موش‌ها ($n=9$) به صورت دست نخورده و سالم به ماهیچه سرینی سطحی همان موش‌ها پیوند زده شد. تعداد فولیکول‌های سالم باقی‌مانده در تخدمان‌های پیوند شده در ۳ فاصله زمانی یکی، دو و سه هفته با هم مقایسه گردید. از تمام تخدمان‌های پیوندی این سه گروه به منظور بررسی‌های بافت‌شناسی و شمارش انواع فولیکول‌ها برش‌های باقی تهیه گردید. رنگ آمیزی هماتوکسیلین و اتوژین برای شمارش فولیکول‌ها و تانل (TUNEL) برای بررسی آپوپتوزیس در بافت‌ها انجام گرفت.
- * یافته‌ها: بین میانگین تعداد فولیکول‌ها در گروه‌های تجربی نسبت به گروه کنترل اختلاف معنی‌دار وجود داشت ($p<0.05$). میانگین تعداد فولیکول‌ها با گذشت زمان افزایش نشان داد و لی اختلاف معنی‌داری وجود نداشت. تعداد فولیکول‌های بدبوی (Primordial Follicles) در هر سه گروه نسبت به باقی انواع فولیکول‌ها بیشتر بود که نشان‌دهنده مقاومت بیشتر این نوع فولیکول‌ها به شرایط پیوند می‌باشد.
- * نتیجه‌گیری: فولیکول‌های آتنزال نسبت به شرایط ایسکمی حساس‌ترین نوع و فولیکول‌های بدبوی مقاوم‌ترین آنها هستند تکه به نظر می‌رسد پیوند تخدمان در ماهیچه می‌تواند راهکاری باشد برای درمان ناباروری در افرادی که نیاز به شیمی درمانی یا رادیوتراپی دارند.

کلیدوازگان: تخدمان، پیوند، موش

فصلنامه پژوهشی یاخته، سال یازدهم، شماره ۲، تابستان ۸۸، صفحات: ۱۸۴-۱۸۹

یا درون بافت ماهیچه (۲۴، ۲۵) به سیستم آندوکرین اجازه فعالیت داده می‌شود، از طرفی امکان جمع‌آوری تخمک‌ها برای انجام بلوغ آزمایشگاهی (In vitro Maturation) و لقاح آزمایشگاهی (In vitro Fertilization) فراهم می‌گردد (۱۶، ۱۷). از این روی یافتن روشی برای حفظ فولیکول‌ها به منظور دریافت دریافت پیشترین میزان تخدمک از بافت تخدمان پیوندی، برای IVF و IVM امری ضروری است. تعداد فولیکول‌های بدبوی بافت تخدمان پیوندی نسبت به انواع دیگر فولیکول‌ها بیشتر است. اما کشت فولیکول‌های بدبوی یا قسمت‌های فشری تخدمان بسیار مشکل است. تا کنون رشد کامل تخدمک‌های موش از فولیکول‌های بدبوی به مرحله متأخاز II در محیط In vitro تنها توسط یک گروه با موفقیت گزارش شده است (۲۶). اما به نظر می‌رسد بقا و رشد فولیکولی فولیکول‌های بدبوی بعد از پیوند بافت تخدمان بیشتر از زمانی است که این فولیکول‌ها یا برش‌های کورتیکال بافت تخدمان به طور جداگانه در محیط آزمایشگاهی کشت داده شدند. البته راهکارهای متفاوتی برای این کار ارایه شده است به عنوان نمونه اگر تخدمان به بافت گرانوله شده در پیوند غیر از مکان اصلی بافت تخدمان نظیر زیر پوست خطر آن ناچیز است (۲۰، ۲۱).

در بسیاری از گزارش‌ها انتقال مجدد سلول‌های سرطانی در برخی از انواع سرطان از طریق پیوند اورتوپیک گزارش شده است هر چند در پیوند غیر از جایگاه اصلی آن عضو) استفاده می‌گردد. در بسیاری از گزارش‌ها انتقال مجدد سلول‌های سرطانی در برخی از انواع سرطان از طریق پیوند اورتوپیک گزارش شده است هر چند در پیوند غیر از مکان اصلی بافت تخدمان نظیر زیر پوست در بسیار کم (۱۳)، کپسول کلیه (۹، ۱۰، ۱۶)، بورسای تخدمان (۲۱-۲۳)، کپسول کلیه (۹، ۱۰، ۱۶)، بورسای تخدمان (۱۳)،

بافت‌شناسی

تخدمان‌ها با مقداری از بافت ماهیچه اطرافشان) به مدت ۲۴ ساعت درون فیکساتیو بوئن قرار داده شدند و بعد از مراحل آب‌گیری با الكل در پارافین بلوک‌گیری شدند. سپس از کل نمونه برش‌هایی با ضخامت ۶ میکرومتر تهیه شد. دو سری لام تهیه گردید که سری اول با هماتوکسیلین و اوزین و سری دوم با TUNEL رنگ آمیزی شدند.

آپوپتوz در بافت به وسیله کیت پروکسیداز TUNEL (In situ cell death detection kit-POD, Roche, USA) طبق دستوری که در خود کیت وجود داشت نشان داده شد. به طور خلاصه برش‌ها پارافین‌زدایی و آبدهی شدند سپس با تریتون ۱/۵ درصد (X-100, Sigma) در دمای اتاق و در محیط مرطب به مدت ۱۵ تا ۳۰ دقیقه انکوبه شدند سپس لام‌ها دو بار با PBS شست و شو داده شدند؛ مخلوط واکنش تائل اضافه و روی لام‌ها با درپوشی پوشانده شد. لام‌ها در تاریکی و محیط مرطب انکوبه و بعد از آن سه بار با PBS شسته شدند سپس converter-POD روی نمونه‌ها اضافه گردید. لام‌ها به مدت ۳۰ دقیقه در محیط مرطب انکوبه شدند پس از سه بارشست و شو با PBS ماده DAB یا Alternative POD اضافه گردید. لام‌ها مجدداً با PBS شسته و با هماتوکسیلین رنگ آمیزی شدند.

بررسی تعداد فولیکول‌ها در مراحل مختلف تکوین

برش‌های تهیه شده از هر تخدمان به صورت سریال تهیه شد. در سری اول لام‌هایی که با H&E رنگ آمیزی شده بودند از هر ۶ برش یک برش بررسی و فولیکول‌های آتها شمارش گردید. تعداد برش‌های شمارش شده در نمونه‌های پیوندی حدود ۴۰ و در نمونه‌های کنترل حدود ۷۰ برش بود.

فولیکول‌های شمارش شده در ۴ گروه طبقه‌بندی شدند: الف. فولیکول‌های بدبو (Primordial Follicles; POFs) حاوی یک تخمک که با یک لا یه سلول سنگفرشی ساده احاطه شده است.

ب. فولیکول‌های اولیه (Primary Follicles; PFs): شامل یک تخمک که با یک لا یه سلول مکعبی ساده احاطه شده‌اند.

ج. فولیکول‌های پرآنترال (Preantral Follicles; PAFs): حاوی تخمک با بیشتر از یک لا یه سلول مکعبی ساده بدون حفره آنتروم د. فولیکول‌های آنترال (Antral Follicles; AFs): حاوی تخمک با بیشتر از یک لا یه سلول مکعبی ساده با حفره‌ای درون سلول‌های گرانولوزابه نام آنتروم. برای اجتناب از شمارش مجدد همان فولیکول و برای اطمینان از اینکه برش مورد شمارش بزرگترین برش عرضی آن فولیکول باشد، شمارش فولیکول‌ها در برش انجام پذیرفت که هستک‌ها در درون هسته تخمک حباب زاینده شمارش شدند که غشاء هسته تخمک کاملاً مشخص بود (۱۵).

بررسی‌های آماری

داده‌ها به وسیله نرم‌افزار EXCEL بررسی شدند. برای مقایسه میانگین تعداد فولیکول‌ها با گروه کنترل از آنالیز واریانس یک طرفه (ANOVA) استفاده گردید. برای بررسی پراکندگی طبیعی گروه‌ها از تست Kolmogorov-smirnov استفاده شد. با استفاده از Fisher's Least Significant Differences (LSD) مقایسه بین میانگین‌ها به صورت دو به دو انجام گرفت. همه داده‌ها به صورت Mean \pm SEM بیان شد و سطح معنی‌دار در نظر گرفته شد.

فولیکول‌های آسیب دیده در پیوندهای درون ماهیچه‌ای به طور معنی‌داری نسبت به پیوند زیر پوستی کمتر می‌باشد (۲۵). در بسیاری از مطالعات معلوم شده است که تعداد فولیکول‌های در حال رشد بلافصله یا مدت کوتاهی پس از پیوند کاهش می‌یابد اما با گذر زمان به علت رگزایی در بافت پیوند کاهش نیز سعی شد تا زمان اپتیمم برای افزایش می‌یابد. (۲۵) در این مطالعه نیز سعی شد تا بعد از پیوند بیشترین بازیافت فولیکولی به دست آید لذا بعد از پیوند از مکان خود خارج شد و بررسی‌های بافت‌شناسی و شمارش انواع فولیکول‌ها روی آنها صورت پذیرفت.

پژوهش انجام شده به عنوان یک مطالعه اولیه برای روش‌های انجماد و پیوند انجام شده است. از آنجایی که در بیشتر مطالعات انجام شده تأکید شده است که عامل پیوند پیش از انجماد باعث آسیب رساندن به فولیکول‌ها می‌شود (۱۵، ۱۴). ابتدا بر آن شدیم که در مورد پیوند و مکان و روش مناسب آن آزمایش نماییم. لذا برای بار اول و به منظور خون‌رسانی بهتر، تخدمان را در ماهیچه سرینی سطحی پیوند زدیم و زمان‌های مختلف قرار دادیم. پس از این مدت مورد بررسی قرار دادیم.

مواد و روش‌ها

حیوانات مورد مطالعه از انتستیو پاستور ایران (کیلومتر ۲۵ جاده تهران کرج) تهیه و قبل از انجام آزمایش برای تطابق با محیط، یک هفتۀ در حیوان‌خانه پژوهشکده رویان نگهداری شدند.

پیوند تخدمان

در این تحقیق، دهنده و گیرنده پیوند یک فرد از یک گونه بود و تخدمان جدا شده به همان موش پیوند زده شد (پیوند اتولوگ)؛ موش‌های ماده نژاد NMRI باسن ۴ تا ۶ هفتۀ با تزریق درون صفاقی کتابمین (۵۰ میکروگرم در میلی لیتر) و زایلازین (۰/۲۰ میلی گرم در میلی لیتر) (Rotexmedica Germany) بی‌هوش شدند. تخدمان چپ از طریق یک برش پشتی جانی کوچک بیرون آورده شد و ضمن جدا کردن اویداکت و چربی‌ها از آن زیر میکروسوکوب استریو به صورت دست نخورده و بدون ایجاد برش در آنها مستقیماً در ماهیچه همان موش پیوند زده شد (ظرف مدت ۳۰ تا ۴۰ ثانیه)؛ به این طریق که ابتدا یک برش درمی کوچک به اندازه ۵/۰ سانتی متر درپوست روی ماهیچه سرینی سطحی ایجاد گردید سپس برش کوچکی در طول فیبرهای این ماهیچه ایجاد شد و تخدمان روی ماهیچه زیری ضمیمه شد. ناحیه صفاق با نخ قابل جذب (Silk-۰-۵)، (Ethicon)، و پوست با نخ غیر قابل جذب (Noab-۰-۴) (Ethicon) بخیه شد. فیبرهای ماهیچه با نخ جراحی (Sorbable-Silk-Ethicon ۰-۴) به منظور شناسایی مکان پیوند، بخیه شد (شکل ۱).

بازیافت بافت پیوندی

موش‌های دریافت کننده پیوند، به سه گروه تقسیم شدند و یک، دو و سه هفتۀ بعد از پیوند به وسیله جایه‌جایی مهره‌های گردنی کشش و تخدمان‌های پیوندی آنها جدا و فیکس شدند. در تعدادی از این موش‌ها تخدمان سمت دیگر (به صورت تصادفی) به عنوان گروه کنترل در نظر گرفته شد.

تعداد فولیکول‌های بدوی، اولیه، پرآنتراال و فولیکول‌های آنتراال به ترتیب بیشترین میزان فولیکول‌ها را در بافت پیوندی تشکیل می‌داد. تعداد فولیکول‌های بدوی در بافت پیوندی سه هفتاهی $(3/39 \pm 5/19)$ نسبت به دو گروه یک هفتاهی و دو هفتاهی به ترتیب $14/7/23 \pm 7/20$ بیشتر بود. همچنین برخلاف افزایش تعداد فولیکول‌های اولیه (43 ± 11) و آنتراال (11 ± 6) در این گروه نسبت به دو گروه دیگر این تفاوت در سطح $p < 0.05$ معنی‌دار نبود (جدول ۱).

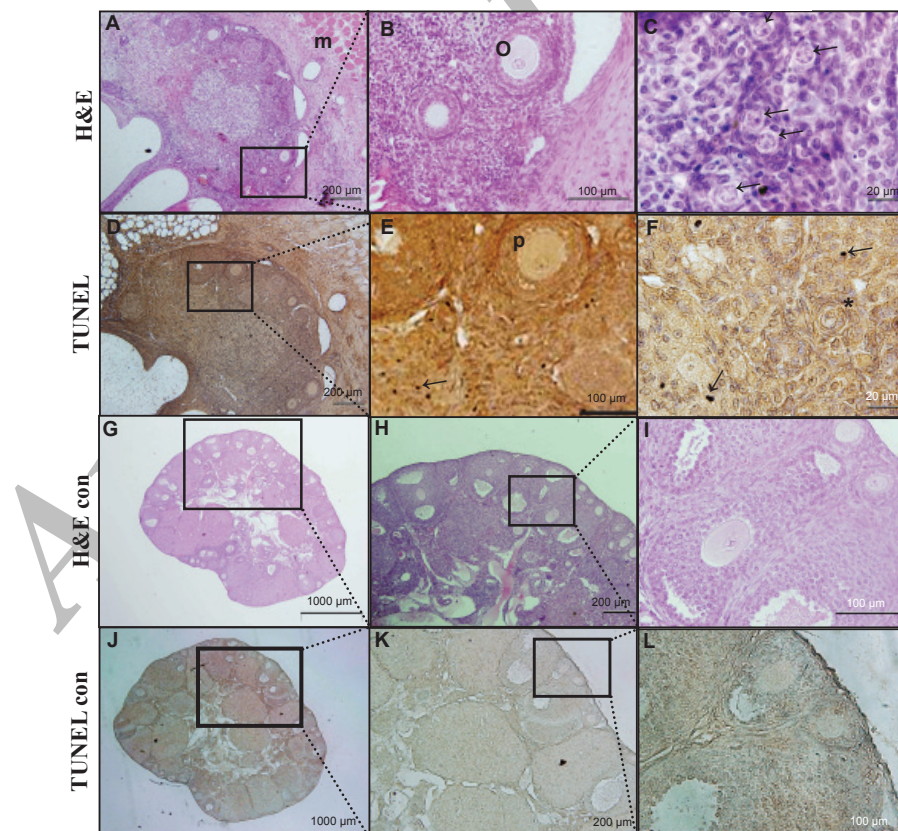
یافته‌ها

پیوند تخدمان درون ماهیچه
شمارش فولیکول‌ها به روشنی که قبل از توضیح داده شد، انجام گرفت و تعداد فولیکول‌های بدوی، اولیه، پرآنتراال و آنتراال در برش‌ها شمارش شدند و تعداد آنها به صورت $\text{Mean} \pm \text{SEM}$ در جدول ۱ خلاصه شد. تعداد تمام انواع فولیکول‌ها در گروه‌های تجربی به طور معنی‌داری در مقایسه با گروه کنترل کمتر و دارای اختلاف معنی‌دار بود ($p < 0.05$).

جدول ۱: تعداد فولیکول‌های سالم باقی مانده در تخدمان‌های پیوندی یک، دو و سه هفته بعد از پیوند

تعداد فولیکول‌ها (Mean \pm SEM)				تخدمان‌ها * (آنtraal) n	
آنtraal	پرآنtraal	اولیه	بدوی		
0.3 ± 0.3	4 ± 3	6.7 ± 5.2	23.7 ± 20.7	۳ (۱)	یک هفتاه
0 ± 0	5.3 ± 4.3	8 ± 4	33 ± 14	۳ (۰)	دو هفتاه
1 ± 1	3.3 ± 2.3	12 ± 8.6	39.3 ± 19.5	۳ (۱)	سه هفتاه
56.7 ± 10.6	185.3 ± 56.6	134 ± 14	417.3 ± 52.1	۳ (۳)	کنترل

* در پرانتز تعداد جانورانی که در آنها فولیکول‌های آنتراال سالم یافت شد آورده شده است.
n = تعداد تخدمان‌ها



شکل ۱: آپوپتوز در تخدمان‌های پیوندی و غیرپیوندی (کنترل). A-C: تخدمان‌های پیوندی رنگ‌آمیزی شده با هماتوكسیلین و اوزین. D-F: تخدمان‌های پیوندی رنگ‌آمیزی شده با کیت تائل. G-I: تخدمان‌های غیرپیوندی (کنترل) رنگ‌آمیزی شده با کیت تائل. پیکان‌ها در شکل C فولیکول‌های بدوی را نشان می‌دهد. تصویر B کادر مشخص شده در تصویر A است. و به همین ترتیب E تصویر F شده کادر تصویر D است و تصویر H بزرگ شده کادر تصویر G و L تصویر J بزرگ شده کادر تصویر K است. m=muscle, O=oocyte, P=preantral follicle.

لیو و همکارانش فولیکول‌های بیشتری را در تخدمان‌های پیوندی موش نسبت به مطالعه حاضر شمارش کردند که احتمالاً دلیل آن مکان پیوند (کپسول کلیه) و برداشتن تخدمان‌های موش‌های گیرنده قبل از پیوند بوده است.

برداشتن تخدمان‌های افراد گیرنده پیوند منجر به دو تغییر فیزیولوژی در بدن آنها می‌شود: میزان گونادوتropینها در گرددش خون افزایش می‌یابد و فاکتورهایی که به وسیله تخدمان‌های سالم افراد گیرنده پیوند ترشح می‌شوند با برداشتن تخدمان‌ها حذف می‌شوند. FSH میتوز سلول‌های گرانولوزا و بلوغ فولیکول‌ها را تحریک می‌کند و آپوپتوز را در سلول‌های گرانولوزا متوقف می‌کند، همچنین نقش مثبتی در رگزایی بعد از پیوند ایفا می‌کند (۲۷). بنابراین میزان بالای FSH در گیرندهایی که تخدمان‌های آنها قبل از جدای خود ممکن است به زنده ماندن و تکوین فولیکول‌ها در تخدمان پیوند شده کمک کند. موش‌هایی که در مطالعه حاضر به عنوان گیرنده استفاده شد، همان موش‌های دهنده‌ای بودند که تخدمان راست آنها در جای خود باقی مانده بود و تخدمان چپ آنها به ماهیچه چپ سرینی سطحی پیوند شده بود. بعد از گذشت یک، دو و سه هفته، هم تمام تخدمان‌های پیوند شده و هم تخدمان‌های سمت راست در برخی از موش‌ها (گروه کنترل) جدا شده و تعداد فولیکول‌های آنها شمارش شده بود. به عبارت دیگر طی زمانی که یک تخدمان در پیوند بود تخدمان دیگر در جای خود قرار داشت. در نتیجه احتمالات تحت اثر تخدمان باقی مانده در این موش‌ها افزایش در میزان گونادوتropینها و میتوز سلول‌های گرانولوزا حاصل نشده است. در این مطالعه نیز اگر قبل از جراحی تخدمان سمت مقابل از جای خود خارج شده بود احتمالاً میزان زنده ماندن فولیکولی بیشتر وجود داشت. در برخی از مطالعات به اثر منفی تخدمان باقی مانده بر رشد بافت تخدمان پیوند شده، اشاره شده است (۱۵).

در این مطالعه فولیکول‌هایی شمارش شدند که هستک‌های تیره رنگ در میان هسته‌های تخمک آنها مشاهده شد. قطر هستک‌های تخمک در فولیکول‌های پرآنترا و آنترا در موش حدود ۷ تا ۱۰ میکرومتر است؛ بنابراین امکان شمارش مجدد آنها وجود داشت وقت کافی به عمل آمد تا زمانی که با فولیکول‌های پرآنترا یا آنترا مواجه می‌شویم از شمارش مجدد فولیکول‌ها در برش‌های مجاور همان برش اجتناب گردد (برش‌ها به صورت سریال بودند و دسترسی به تمام برش‌ها وجود داشت و هیچ برشی دور ریخته نشده بود). قطر هستک‌ها به عنوان یک نشانه برای فولیکول‌های بدودی حدود ۲ میکرومتر برآورد شده است بنابراین احتمال شمارش مجدد در برش‌های با خضامت ۶ میکرومتر کاهش می‌یابد (۱۵).

مقایسه بین میانگین‌ها نشان داد که بین میانگین تعداد فولیکول‌ها در سه گروه آزمایشی تفاوت معنی‌داری وجود ندارد به این ترتیب زمان ابتیم برای پیوند مشخص نمی‌گردد و مطالعات بیشتری در این زمینه لازم است. بررسی آپوپتوز نشان داد که آسیب فولیکول‌ها بیشتر به نواحی مرکزی محدود می‌شود و در نواحی سطحی بافت تخدمان پیوندی بقای فولیکولی بیشتر است (شکل ۱). این موضوع با مطالعات گذشته مطابقت داشت (۱۵، ۲۴). هم‌چنین پراکندگی سلول‌های آپوپتویک بیشتر در نواحی مرکزی بافت پیوندی مشاهده گردید که می‌تواند نشان دهنده این باشد که سلول‌های گرانولوزا و استرومایی نسبت به سلول‌های تخمک دیگر نیز این مطلب را تایید می‌کنند (۱۵، ۲۴). با این وجود نیاز به تحقیقات بیشتری در این زمینه احساس می‌شود.

تعداد فولیکول‌های آنترا در این گروه‌ها نسبت به بقیه انواع فولیکول‌ها کمتر بود. در گروه دو هفته‌ای اصلاح فولیکول آنترا مشاهده نشد. در مجموع در کل این سه گروه از ۹ تخدمان پیوندی تنها در دو عدد از آنها فولیکول آنترا مشاهده شد (جدول ۱).

بررسی‌های بافت‌شناسی نشان داد یک هفتۀ بعد از پیوند نواحی آسیب دیده بیشتر به نواحی مرکزی پیوند محدود شده بود که این موضوع به وسیله رنگ آمیزی TUNEL تایید شد (شکل ۱). با گذشت زمان (دو و سه هفتۀ بعد از پیوند) به تدریج آسیب به محیط پیوند گسترش یافت و تنها فولیکول‌هایی زنده ماندند که از مرکز نکروتیک دور بودند (شکل ۱A-F).

فرآنمته شدن DNA در تخدمان پیوندی:

نواحی آسیب دیده در تخدمان‌های پیوند شده و کنترل به وسیله رنگ آمیزی تانل مشخص شدند، (شکل ۱D-F) نقاط آپوپتویک به نواحی مرکزی تر بافت تخدمان پیوندی محدود می‌شد و نقاط دچار آپوپتوز شده در این نواحی بیشتر دیده می‌شد.

نقاط آپوپتویک در فولیکول‌های بدوى یا در سلول‌های گرانولوزای احاطه کننده آنها در نواحی سطحی تر تخدمان بسیار کمتر دیده شد (شکل ۱F) در صورتی که در همین تخدمان‌ها در نواحی مرکزی تر نسبت به سطح نقاط آپوپتویک فراوان تری دیده شد (شکل ۱E). سلول‌هایی که با تانل رنگ آمیزی شدند به صورت نقاط قهوه‌ای تیره در شکل دیده می‌شوند.

بحث

هدف اصلی پیوند بافت تخدمان حفظ باروری به وسیله به حداقل رساندن آسیب به فولیکول‌های بدوى و تخمک‌ها و به حد اپتیم رساندن تکوین فولیکول‌ها می‌باشد (۲۴). فولیکول‌های بدوى نسبت به فولیکول‌های در حال رشد به علت ماندن در حالت رکود و کم بودن میزان متابولیسم آنها به اثر ایسکمی مقاومتند. به طوری که با گذشت زمان به نظر می‌رسد به علت رگزایی و خون‌رسانی بهتر، تعدادی از فولیکول‌های بدوى یا اولیه زنده مانده در پیوند، رشد کرده و به مرحله آنترا بررسد (۲۴) در مطالعه‌ای که توسط لیو و همکارانش انجام گرفت، پیوندها هم به صورت تازه و هم به صورت منجمد بررسی گردیدند و در شده پیوندی تازه ۵۸ درصد جمعیت فولیکول‌ها و در تخدمان‌های منجمد شده پیوندی ۴۹ درصد فولیکول‌ها در موش زنده ماندند (۱۵).

در مطالعه حاضر میزان زنده ماندن فولیکول‌های بدوى نسبت به بقیه انواع فولیکول‌ها بیشتر بوده است. همچنین بافت پیوند یک و سه هفتۀ بعد از پیوند دارای فولیکول آنترا بود اما دو هفتۀ بعد از پیوند، فولیکول آنترا و وجود نداشت. به نظر می‌رسد که تعداد فولیکول‌های در حال رشد در هفتۀ اول کاهش می‌یابد اما طی هفتۀ بعد احتمالاً تعدادی از فولیکول‌های بدوى رشد کرده به مرحله آنترا می‌رسند. در مطالعات گذشته نیز چنین کاهش و افزایشی در تعداد فولیکول‌ها مشاهده شده بود (۲۴). همچنین برای جلوگیری از مرگ و میر در موش‌های با سن کم که تحمل دو جراحی همزمان را نداشتند، از موش‌های باغ استفاده کردیم که تعداد فولیکول‌های آنترا و پرآنترا در آنها نسبت به موش‌های با سنین کم بیشتر بوده و همان‌گونه که قبل از ذکر شد این فولیکول‌ها نسبت به آسیب ایسکمی حساس‌ترند، بنابراین به طور کلی تعداد فولیکول‌های بزرگ در هر سه گروه نسبت به بقیه انواع فولیکول‌ها کمتر بود.

نتیجه گیری

بنابراین پیوند تحمدان به ماهیچه می‌تواند مزیت‌های هر دو روش پیوند زیر پوستی و کپسول کلیه را داشته باشد در عین حال پیگیری بافت در این روش راحت‌تر و دسترسی به تخمک‌ها برای انجام IVF نیز آسان‌تر می‌باشد.

تقدیر و تشکر

کلیه هزینه‌های طرح حاضر از بودجه طرح پیوند تحمدان موش، توسط پژوهشکده رویان تامین شده است.
بر خود فرض می‌دانیم که تشکر خود را از تمامی مسئولین پژوهشکده و همکاران گروه جنین‌شناسی به جهت انجام این طرح اعلام داریم.

References

- Maltaris T, Seufert R, Fischl F. The effect of cancer treatment on female fertility and strategies for preserving fertility. *Eur J Obstet Gynecol Reprod Biol*. 2007;130: 148-155.
- Migishima F, Suzuki-Migishima R, Song SY. Successful cryopreservation of mouse ovaries by Vitrification. *Biol Reprod*. 2003; 68: 881-887.
- Newton H. The cryopreservation of ovarian tissue as a strategy for preserving the fertility of cancer patients. *Hum Reprod Update*. 1998; 4: 237-247.
- Rogerio A, Lobo M D. Potential options for preservation of fertility in women. *N Engl J Med*. 2005; 353: 64-73.
- Sonmezler M, Oktay K. Fertility preservation in female patients. *Hum Reprod Update*. 2004; 10: 251-266.
- Kim S. S. Ovarian tissue banking for cancer patients to do or not to do? *Hum Reprod*. 2003; 18: 1759-1761
- Arav A, Revel A, Nathan Y. Oocyte recovery, embryo development and ovarian function after cryopreservation and transplantation of whole sheep ovary. *Hum Reprod*. 2005; 20: 3554-3559.
- Bordes A, Lornage J, Demirci B. Normal gestations and live births after orthotopic autograft of vitrified-warmed hemi-ovaries into ewes. *Hum Reprod*. 2005; 20: 2745-2748.
- Gook D A, McCully B A, Edgar D H. Development of antral follicles in human cryopreserved ovarian tissue following xenografting. *Hum Reprod*. 2001; 16: 417-422.
- Kaneko H, Kikuchi K, Noguchi J. Maturation and fertilization of porcine oocytes from primordial follicles by a combination of xenografting and *In Vitro* Culture. *Biol Reprod*. 2003; 69: 1488-1493.
- Donnez J, Dolmans MM, Demytalle D, Jadoul P, Pirard C, Squifflet J, et al. Livebirth after orthotopic transplantation of cryopreserved ovarian tissue. *Lancet*. 2004; 364(9443): 1405-1410.
- Donnez J, Dolmans MM, Demytalle D. Restoration of ovarian function after orthotopic (intraovarian and periovarian) transplantation of cryopreserved ovarian tissue in a woman treated by bone marrow transplantation for sickle cell anemia. *Hum Reprod*. 2006; 21:183-188.
- Sztein J, Sweet H, Farley J, Mobraaten L. Cryopreservation and orthotopic transplantation of mouse ovaries: New approach in gamete banking. *Biol Reprod*. 1998; 58(4): 1071-1074.
- Liu J, Van der Elst J, Van den Broecke R, Dumortier F, Dhont M. Maturation of mouse primordial follicles by combination of grafting and *in vitro* culture. *Biol Reprod*. 2000; 62(5): 1218-1223.

در این مطالعه، ماهیچه به عنوان مکان پیوند انتخاب شد چون مکان زیر پوستی هتروژن است و از نظر رگ‌های خونی به اندازه ماهیچه غنی نیست (۲۴). ماهیچه به عنوان یک مکان پیوند، هموژنوس‌تر است و رگ‌های خونی بیشتری دارد (۲۴). میزان زنده ماندن فولیکول‌ها زمانی که بافت تحمدان به طور کامل به ماهیچه اسکلتی پیوند گردید، بیشتر شد (۲۵) مکان پیوند زیر پوستی مکانی است که دسترسی به پیوند در آنجا راحت‌تر است اما به نسبت از نظر خون‌رسانی و ظرفیت رگ‌زایی ضعیف‌تر است. کپسول کلیه فولیکول‌ها از این مکان، نیازمند جراحی باز خفره شکمی است (۲۵، ۱۸، ۱۲، ۱۱).

- Liu J, Van der Elst J, Van den Broecke R, Dhont M. Early massive follicle loss and apoptosis in heterotopically grafted newborn mouse ovaries. *Hum Reprod*. 2002; 17(3): 605-611.
- Liu J, Van der Elst J, Van den Broecke R, Dhont M. Live offspring by *in vitro* fertilization of oocytes from cryopreserved primordial mouse follicles after sequential *in vivo* transplantation and *in vitro* maturation. *Biol Reprod*. 2001; 64: 171-178.
- Waterhouse T, Cox S L, Snow M. Offspring produced from heterotopic ovarian allograft in male and female recipient mice. *Reproduction*. 2004; 127: 689-694.
- Aubard Y, Piver P, Cogni Y. Orthotopic and heterotopic autografts of frozen-thawed ovarian cortex in sheep. *Hum Reprod*. 1999; 14: 2149-2154.
- Gunasena KT, Villines PM, Critser ES. Live births after autologous transplant of cryopreserved mouse ovaries. *Hum Reprod*. 1997; 12: 101-106.
- Revel A, Schenker J. Ovarian tissue banking for cancer patients: is ovarian cortex cryopreservation presently justified? *Hum Reprod*. 2004; 19: 14-19.
- Weissman A, Gotlieb L, Colgan T. Preliminary experience with subcutaneous human ovarian cortex transplantation in the NOD-SCID mouse. *Biol Reprod*. 1999; 60: 1462-1467.
- Nisolle M, Casanas-Roux F, Qu J. Histologic and ultrastructural evaluation of fresh and frozen-thawed human ovarian xenografts in nude mice. *Fertil Steril*. 2000; 74: 122-129.
- Van den Broecke R, Liu J, Handyside A. Follicular growth in fresh and cryopreserved human ovarian cortical grafts transplanted to immunodeficient mice. *Eur J Obst Gynecol Reprod Biol*. 2001; 97:193-201.
- Israely T, Nevo N, Harmelin A. Reducing ischemic damage in rodent ovarian xenografts transplanted into granulation tissue. *Hum Reprod*. 2006; 21: 1368-1379.
- Israely T, Dafni H, Granot D. Vascular remodeling and angiogenesis in ectopic ovarian transplants: a crucial role of pericytes and vascular smooth muscle cells in maintenance of ovarian grafts. *Biol Reprod*. 2003; 68: 2055-2064.
- Eppig JJ, Obrien MJ. Development *in vitro* of mouse oocytes from primordial follicles. *Biol Reprod*. 1996; 54: 197-207.
- Dissen G A, Lara H E, Fahrenbach W H, Ojeda S R. Immature rat ovaries become revascularized rapidly after autotransplantation and show gonadotropin-dependent increase in angiogenic factor gene expression. *Endocrinol*. 1994; 134: 1146-1154.

Original Article

Autologous Transplantation of Intact Mouse Ovaries in Gluteus Superficialis Muscle

Hossein Imani, Ph.D.^{1,2*}, Seyedeh Fatemeh Siyadat, M.Sc.^{1,3,4}, Kazem Parivar, Ph.D.⁴,
Poopak Eftelhari Yazdi, Ph.D.¹, Mojtaba Rezazadeh Valojerdi, Ph.D.^{1,5},
Abdolhossein Shahverdi, Ph.D.¹

1. Embryology Department, Royan Institute for Reproductive Biomedicine Research Center, ACECR, Tehran, Iran

2. Anatomy Department, Baghyatallah University, Tehran, Iran

3. Biology Department, Faculty of Basic Sciences, Garmser Azad University, Garmser, Iran

4. Animal Biology Department, Faculty of Basic Sciences, Azad University, Tehran, Iran

5. Anatomy Department, Faculty of Medicine, Tarbiat Modares University, Tehran, Iran

* Corresponding Address: P.O.Box: 19395-4644, Embryology Department, Royan Institute for Reproductive Biomedicine Research Center, ACECR, Tehran, Iran
Email: eimanil@royaninstitute.org

Received: 8/May/2008, Accepted: 28/Oct/2008

Abstract

Objective: Anti-cancer therapies frequently lead to ovarian damage and defective fertility. To preserve fertility, cryopreservation and subsequent transplantation of the ovaries has been suggested. The aim of this study was to investigate the survival of follicles in intact intramuscular mouse autologous ovaries, according to the time the ovarian tissue remained in the grafted site.

Materials and Methods: Ovaries (n=9) were transplanted intramuscularly into gluteus superficialis. These grafted ovaries were removed after one, two and three weeks from the grafted site. A histological examination and counting of follicles was then performed. Some ovaries (n= 3) from the same mice were selected randomly for the control group. Hematoxyline and eosin (H & E) staining was used for follicle counting and TUNEL staining for the examination of apoptosis in grafted tissues.

Results: Mean follicular survival was significantly lower in experimental groups compared to the control group (non-grafted) ($p<0.05$), because of ischemic damages. Also healthy primordial follicle numbers in grafted ovaries were higher than other types.

Conclusion: Antral follicles are the most sensitive to ischemic damages and primordial follicles are the least sensitive. Also the presence of healthy follicles in grafted tissues shows that ovarian transplantation could be a promising method for infertility treatment of patients diagnosed with cancer.

Keywords: Ovary, Transplantation, Mouse

Yakhteh Medical Journal, Vol 11, No 2, Summer 2009, Pages: 184-189